

**ИЗВЕСТИЯ ВУЗОВ  
МВ и ССО СССР  
РАДИОЭЛЕКТРОНИКА**

**ОТДЕЛЬНЫЙ ОТТИСК**

**КИЕВ — 1986**

## ЛИТЕРАТУРА

1. Кейсесент Д., Псалтис Д. Новые методы оптических преобразований для распознавания образов.— ТИИЭР, 1977, т. 65, № 1, с. 92—100.  
 2. Kiss J., Zwicke E. A new implementation of the mellin transform and its application to radar classification of ships.— IEEE Trans., 1983, v. PAMI-5, N 2, p. 191—199.

Поступило в редакцию после переработки 09.12.85.

УДК 621.382.82.001

## ДИАЛОГОВАЯ СИСТЕМА ПАРАМЕТРИЧЕСКОЙ ИДЕНТИФИКАЦИИ МОДЕЛЕЙ ЭЛЕМЕНТОВ ИС

С. Г. РУСАКОВ, С. Л. УЛЬЯНОВ

Распространенный способ определения параметров моделей по данным эксперимента заключается в решении задачи на наилучшее совпадение экспериментальных и рассчитанных по модели внешних характеристик полупроводникового прибора. Применение на этом этапе численных методов оптимизации позволяет автоматизировать процедуру определения параметров моделей [1-3] и использовать методики идентификации, свободные от недостатков, присущих прямым измерениям.

Для решения задачи параметрической идентификации целесообразно использовать диалоговую систему, представляющую собой аппаратно-программный комплекс с необходимыми в сеансе работы сервисными средствами. Функциональные возможности системы должны обеспечивать разработчику схем гибкостью в выборе методов и средств идентификации, обработку исходной информации, расчет параметров модели, графическое отображение результатов расчета. Структурная схема разработанной системы АРИС-ПИМ приведена на рис. 1. Программное обеспечение системы включает: монитор системы 1; библиотеку методов оптимизации 2; библиотеку элементов ИС 3; программы обработки исходных данных 4; программы графического отображения результатов расчетов на алфавитно-цифровом (АЦД) и графическом дисплеях 5. Монитор системы осуществляет интерактивное взаимодействие с разработчиком и вызывает отдельные программы системы. Диалог в программе «Монитор» построен по двухуровневому принципу: сначала пользователь задает ключевое слово (команду монитора), затем выбирает необходимый режим работы из предложенного списка («меню»). Командами монитора являются следующие ключевые слова: ИЗМЕНИТЬ, ПРОСМОТР,

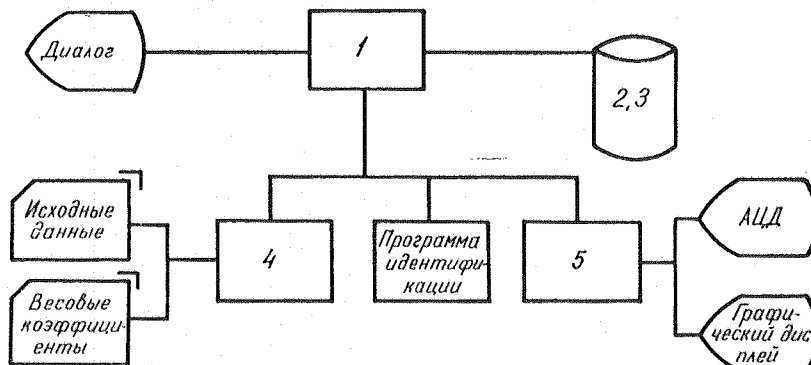


Рис. 1

**ЗАПУСК, ГРАФИК, ДИАГРАММА, ПОМОЩЬ.** Команда ИЗМЕНИТЬ предназначена для задания и модификации информации, необходимой для проведения идентификации. На экране АЦД появляется список возможных ответов: 1 — модель; 2 — начальная точка; 3 — ограничения; 4 — метод; 5 — вычислительные константы; 6 — исходные данные; 7 — весовые коэффициенты. При ответах 1—3 задаются номер модели, начальные, минимальные и максимальные значения искомых параметров модели. При ответах 4—5 вводится номер и вычислительные константы метода, с помощью которого проводится идентификация. При ответе 6 выполняется ввод исходных экспериментальных данных с магнитной ленты, диска или с клавиатуры АЦД в память ЭВМ, статистическая обработка информации. Имеются возможности сплайн-аппроксимации введенных экспериментальных характеристик, сглаживания и численного дифференцирования. При идентификации моделей биполярного транзистора в качестве исходной экспериментальной

информации используются входные и выходные ВАХ, зависимости коэффициента усиления от тока, зависимости постоянной времени от режима и зависимости емкости перехода от напряжения на нем [4]. При идентификации моделей МДП-транзистора используются выходные ВАХ и для моделей, предназначенных для расчета аналоговых схем, зависимости выходной проводимости от режима (напряжений сток — исток, затвор — исток, подложка — исток) [7]. При ответе 7 пользователь вводит весовые коэффициенты, изменяющие вклад отдельных точек настраиваемой зависимости в цеплевую функцию. Команда ПРОСМОТР позволяет получить информацию о текущих значениях вычислительных констант метода, начальной точке и границах изменения

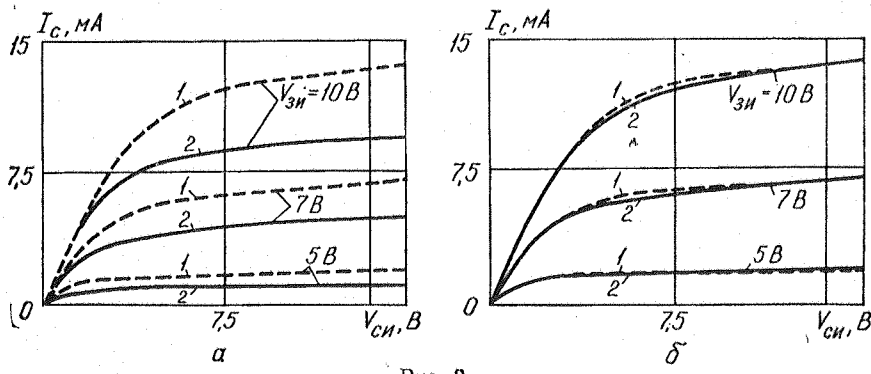


Рис. 2

параметров модели, а также осуществляет просмотр каталога библиотеки методов оптимизации и библиотеки моделей. Команда ЗАПУСК формирует для выполнения рабочую программу идентификации, настроенную на конкретную задачу. В процессе решения через заданное пользователем количество итераций на экран АЦД выдается значение целевой функции и искомых параметров модели. Пользователь имеет возможность прервать поиск на любой итерации. При этом управление передается на уровень команд монитора, а полученное решение запоминается. Команды ГРАФИК, ДИАГРАММА позволяют отобразить результаты расчетов соответственно на графическом и алфавитно-цифровом дисплеях. При этом выводятся графики экспериментальных и рассчитанных по модели зависимостей, проводится оценка точности их совпадения. Примеры графического отображения результатов расчета в сеансе работы приведены на рис. 2: ВАХ МДП-транзистора до проведения идентификации *a* и после идентификации параметров модели *b* (цифрами 1, 2 обозначены соответственно экспериментальные и рассчитанные по модели характеристики). Команда ПОМОЩЬ выводит справочную информацию о командах монитора и предназначена для консультации пользователя во время сеанса работы с системой. Библиотека моделей элементов ИС содержит модификации модели Эберса — Молла биполярного транзистора, учитывающие зависимость коэффициента усиления от тока коллектора, эффект Эрли, объемные соотивления диффузионных областей, уточненные аппроксимации барьерных емкостей *p-n*-переходов [4] и ряд моделей МДП-транзисторов, различающихся по сложности и позволяющих проводить моделирование как цифровых так и аналоговых схем. Программа связи метода и модели служит для формирования целевой функции в терминах наименьших квадратов. В библиотеку методов поиска включены методы оптимизации нулевого, первого и второго порядков: 1 — метод деформируемого многогранника (*M1*) [5]; 2 — метод Паузлла (*M2*) [5]; 3 — метод Давидона — Флетчера — Паузлла (*M3*) [5]; 4 — метод Брайдена (*M4*) [5]; 5 — метод минимизации овражных функций с помощью численного интегрирования жестких систем ОДУ (*M5*) [6].

Для сравнительного анализа эффективности методов поиска системы параметрической идентификации проводились расчеты параметров статических моделей МДП и биполярных компонентов. Идентификация моделей МДП-транзистора выполнялась с помощью методов нулевого порядка (*M1*, *2*). Практические расчеты, проведенные для ряда конкретных примеров показали высокую надежность метода деформируемого многогранника и более низкую скорость сходимости в окрестности локального минимума по сравнению с методом Паузлла. При этом на идентификацию модели МДП-транзистора в зависимости от размера экспериментального массива и требуемой точности затрачивалось 150—600 итераций для *M1* и 15—20 итераций для *M2* при примерно одинаковых затратах машинного времени. Для модели биполярного транзистора исследовались методы 1, 3, 4, 5, причем градиентные методы 3, 4 использовались в двух модификациях — с аналитическим расчетом производных, с численной оценкой производных методом приращений, а метод 5, использующий матрицу вторых производных функции цели по параметрам модели в трех модификациях, — с аналитическим вычислением производных, с численной оценкой первых и вторых производных, с численной оценкой только вторых производных. Практические расчеты, проведенные для различных экспериментальных массивов, показали, что вычислительные затраты методов 3, 4 зависят от задания вычислительных констант метода при неизменной точности поиска и составляют 1000—3000 эквивалентных вычислений целевой функции. Метод 5 с ана-

литическим вычислением производных не требовал специального определения вычислительных констант и приводил к оптимальному решению при той же точности поиска за 250—350 эквивалентных вычислений целевой функции. Оценка области сходимости метода 5 показала, что оптимальную точку удавалось получить практически из любой начальной точки поиска, удовлетворяющей физическим ограничениям на параметры модели, причем задание более жесткого интервала изменения параметров модели, позволяло ускорить процесс поиска. Идентификация с использованием методов 3, 4, 5 с численной оценкой производных не приводила к расчету оптимальной точки, за исключением модификации метода 5 с численным расчетом только вторых производных.

Таким образом, для идентификации модели биполярного транзистора возможно применение методов 3, 4 с аналитическим вычислением производных однако наиболее эффективным и надежным является метод 5 с аналитическим вычислением первых и вторых производных функции цели по параметрам модели. Практическое применение системы параметрической идентификации подтвердило ее эффективность для определения параметров моделей активных приборов для системы автоматизации схемотехнического проектирования [8].

## ЛИТЕРАТУРА

1. Аврашков П. П., Баталов Б. В., Соколов А. Г. Определение параметров модели транзистора.— Электрон. техника. Сер. Микроэлектроника, 1975, вып. 3(57), с. 63—70.
2. Коган В. Л., Котульский М. А., Фролкин В. Т. Автоматизированное определение параметров моделей полупроводниковых приборов.— Изв. вузов МВ и СССР. Радиоэлектроника, 1982, т. 25, № 1, с. 47—51.
3. Бубенников А. Н., Гусин С. Ю., Садовников А. Д. Определение параметров модели высокочастотного транзистора с помощью машинных методов оптимизации.— Техника средств связи. Сер. Микроэлектронная аппаратура, 1980, вып. 1, с. 75—80.
4. Шагурин И. И., Петросянц К. О. Проектирование цифровых микросхем на элементах инжекционной логики.— М.: Радио и связь, 1984.— 232 с.
5. Химмельблау Д. Прикладное нелинейное программирование.— М.: Мир, 1975.— 535 с.
6. Артемьев С. С., Демидов Г. В., Новиков Е. А. Минимизация овражных функций численным методом для решения жестких систем уравнений.— Новосибирск, 1980.— 13 с.— Препринт ВЦСО АН СССР, № 74.
7. Стуканов В. П., Ульянов С. Л. Идентификация параметров математических моделей для схемотехнического моделирования МДП аналоговых схем.— Техника средств связи. Сер. Микроэлектронная аппаратура, 1985, вып. 1—2 (6—7), с. 58—63.
8. Баталов Б. В., Русаков С. Г., Фролов В. В. Комплекс программ автоматизированного расчета электрических характеристик интегральных схем на мини-ЭВМ (мини-АРИС).— В сб.: Микроэлектроника и полупроводниковые приборы.— М.: Радио и связь, 1984, вып. 9, с. 157—174.

Поступило в редакцию после переработки 26.11.85.